

COMPITO DI CONTROLLI AUTOMATICI
Ingegneria dell'Informazione
25 Gennaio 2019

Esercizio 1. [9 + 1 punti] Data la funzione di trasferimento

$$G(s) = 10^n \frac{(1 + s^2)}{s \left(1 + 2\frac{1}{2}\frac{s}{10} + \frac{s^2}{10^2} \right)}$$

con n numero intero.

Assumendo $n = 0$

- i) si determini il diagramma di Bode (modulo e fase) della risposta in frequenza del sistema;
- ii) si determini il diagramma di Nyquist di $G(j\omega)$ per $\omega \in \mathbb{R}$, calcolando eventuali asintoti ed intersezioni con gli assi, e si studi attraverso il criterio di Nyquist la stabilità BIBO del sistema retroazionato

$$W(s) = \frac{KG(s)}{1 + KG(s)},$$

al variare di K in $\mathbb{R}, K \neq 0$.

Assumendo ora n incognito,

- iii) Si determini, ricorrendo al solo criterio di Nyquist, quanto deve valere n affinché il sistema retroazionato

$$W(s) = \frac{KG(s)}{1 + KG(s)}$$

- sia BIBO stabile per $K > 0$;
- abbia 3 poli a parte reale positiva per $K < K^*$;
- abbia 1 polo a parte reale positiva per $K^* < K < 0$,

dove K^* è approssimativamente -0.01 .

Esercizio 2. [9.5 punti] Dato il sistema di funzione di trasferimento

$$G(s) = \frac{s + 13}{(s + 7)^2(s - 3)}$$

se ne traccino i luoghi positivo e negativo, evidenziandone punti doppi, asintoti ed intersezioni con l'asse immaginario, e studiando quindi la BIBO stabilità di $W(s) = \frac{KG(s)}{1+KG(s)}$ al variare di K reale.

Esercizio 3. [6 punti] Dato il processo di funzione di trasferimento

$$G(s) = \frac{10}{(1 + s)^2}$$

- i) si progetti un controllore proprio e stabilizzante $C_1(s) \in \mathbb{R}(s)$ che attribuisca al sistema retroazionato $W(s) = \frac{C_1(s)G(s)}{1+C_1(s)G(s)}$ tipo 0 e relativo errore a regime (al gradino) $e_{rp}^{(1)} \simeq 10^{-4}$, mentre la funzione di trasferimento in catena aperta $C_1(s)G(s)$ abbia $\omega_A \simeq \omega_A^* = 10 \text{ rad/s}$, $m_\psi \simeq m_\psi^* = 90^\circ$;
- ii) si progetti un controllore stabilizzante $C_2(s) \in \mathbb{R}(s)$ di tipo PID (eventualmente P, PD, PI) che attribuisca al sistema retroazionato $W(s) = \frac{C_2(s)G(s)}{1+C_2(s)G(s)}$ tipo 1 e relativo errore a regime (alla rampa lineare) $e_{rp}^{(2)} \simeq 10^{-4}$, mentre la funzione di trasferimento in catena aperta $C_2(s)G(s)$ abbia $\omega_A \simeq \omega_A^* = 100 \text{ rad/s}$, $m_\psi \simeq m_\psi^* = 90^\circ$.

Teoria. [5 punti] Si consideri un modello ingresso/uscita LTI a tempo continuo causale, descritto da un'equazione differenziale lineare e a coefficienti costanti del tipo

$$a_n \frac{d^n y(t)}{dt^n} + a_{n-1} \frac{d^{n-1} y(t)}{dt^{n-1}} + \dots + a_0 y(t) = b_m \frac{d^m u(t)}{dt^m} + \dots + b_0 u(t),$$

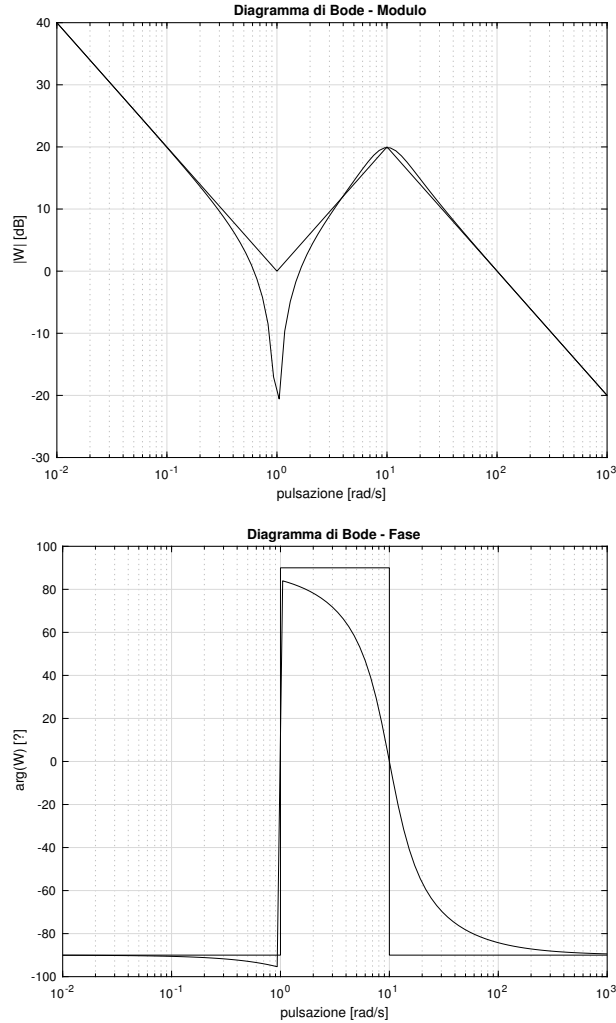
($a_n, b_m \neq 0$ e $n \geq m$) e sollecitato dal segnale di ingresso

$$u(t) = e^{j\tilde{\omega}t} \delta_{-1}(t),$$

con $\tilde{\omega} \in \mathbb{R}$ fissato. Assumendo condizioni iniziali arbitrarie, si introducano i concetti di risposta di regime permanente e di risposta transitoria, e si dimostri (operando nel dominio del tempo) come sotto opportune ipotesi l'evoluzione complessiva (d'uscita) $y(t)$ del sistema sia sempre esprimibile come somma delle due. Come cambia la risposta alla precedente domanda se le condizioni iniziali del sistema sono nulle?

SOLUZIONI

Esercizio 1. i) e ii) Per $n = 0$ il guadagno di Bode K_B della funzione di trasferimento $G(s)$ è unitario e i diagrammi di Bode di modulo e fase sono riportati qui di seguito. Si noti che se invece di assumere $n = 0$ avessimo assunto un diverso $n \in \mathbb{Z}$, il guadagno di Bode (positivo) di $G(s)$, $K_B = 10^n$, avrebbe dato un contributo additivo al diagramma del modulo pari a $n \cdot 20$ dB (quindi l'intero diagramma sarebbe stato traslato verso l'alto di $n \cdot 20$ dB se $n > 0$ e verso il basso di $|n| \cdot 20$ dB se $n < 0$), mentre il diagramma delle fasi sarebbe stato il medesimo riportato qui di seguito.

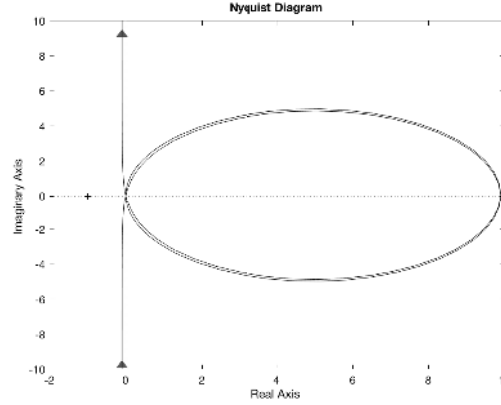


Lo studio di $G(j\omega)$ conduce a

$$G(j\omega) = \frac{0.1(\omega^2 - 1)}{\left(1 - \frac{\omega^2}{100}\right)^2 + \frac{\omega^2}{100}} + j \frac{(\omega^2 - 1) \left(1 - \frac{\omega^2}{100}\right)}{\omega \left[\left(1 - \frac{\omega^2}{100}\right)^2 + \frac{\omega^2}{100}\right]}.$$

Limitandoci alle pulsazioni positive, la parte reale è negativa per $0 < \omega < 1$, si annulla per $\omega = 1$, mentre è positiva per $\omega > 1$. Invece la parte immaginaria ha due zeri: uno

per $\omega = 1$ e uno per $\omega = 10$. Essa è negativa per $0 < \omega < 1$ e per $\omega > 10$, e positiva per $1 < \omega < 10$. Per $\omega = 10$ la parte immaginaria è nulla mentre la parte reale vale $9.9 \approx 10$. Se valutiamo il limite della parte reale per $\omega \rightarrow 0^+$ troviamo -0.1 . Infine, sia parte reale che parte immaginaria si annullano per $\omega \rightarrow +\infty$. Queste considerazioni permettono di tracciare il seguente diagramma di Nyquist:



Ora si ha $n_{G+} = 0$ e la valutazione del numero di giri N attorno al punto $-\frac{1}{K}$ (dopo aver aggiunto la chiusura all'infinito con un semicerchio percorso in senso orario) porge la seguente casistica: il sistema retroazionato

$$W(s) = \frac{KG(s)}{1 + KG(s)}$$

- è BIBO stabile per $K > 0$;
- ha 3 poli a parte reale positiva per $K < -1/9.9 \approx -0.1$;
- ha 1 polo a parte reale positiva per $-1/9.9 \approx -0.1 < K < 0$.

iii) Come già evidenziato a proposito dei diagrammi di Bode, il fatto di assumere per n un valore intero diverso da 0 equivale semplicemente a modificare il modulo di $G(j\omega)$ per ogni valore di ω (esso viene moltiplicato per 10^n), ma non la fase. Dal punto di vista del diagramma di Nyquist, il diagramma di Nyquist di $G(j\omega)$ per $n \in \mathbb{Z}$ fissato, è identico a quello riportato nella precedente figura se non nella “scala”, in quanto ogni punto risulta moltiplicato per 10^n rispetto al medesimo punto nel diagramma di Nyquist riportato sopra. È evidente allora che la stabilità del sistema retroazionato segue la casistica riportata al punto iii) se e solo se l'intersezione del diagramma di Nyquist con l'asse reale è pari a un valore prossimo a 100. Questo significa che ogni punto del nuovo diagramma si deve ottenere moltiplicando per 10 il medesimo punto nel diagramma di partenza. Ma allora deve necessariamente essere $n = 1$.

Esercizio 2. Si noti, preliminarmente che $n = 3$ e $m = 1$, quindi sia luogo positivo che negativo avranno due rami che vanno al punto improprio, nel luogo positivo con direzioni $\pi/2$ e $3\pi/2$, nel luogo negativo con direzioni 0 e π . Il centro degli asintoti in entrambi i casi ha coordinata reale:

$$x_C = \frac{(-7 - 7 + 3) - (-13)}{3 - 1} = 1.$$

L'equazione dei punti doppi porge, dopo alcuni calcoli

$$(s + 7)(s^2 + 18s + 17) = 0$$

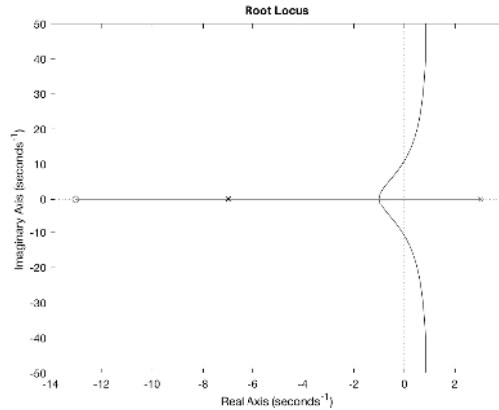
e ciò permettere di determinare il punto doppio banale ($s = -7, K = 0$) ed i punti doppi ($s = -1, K = 12$) e ($s = -17, K = -500$), l'uno appartenente al luogo positivo e l'altro a quello negativo. Studiando le intersezioni con l'asse immaginario si trova

$$j\omega(K + 7 - \omega^2) + (13K - 147 - 11\omega^2) = 0.$$

La parte immaginaria si annulla per $\omega = 0$ e per $\omega^2 = K + 7$.

- Sostituendo $\omega = 0$ nella parte reale e imponendo che anche la parte reale sia nulla si trova $K = \frac{147}{13}$. Quindi una prima intersezione con l'asse immaginario si ha in corrispondenza all'origine per $K = \frac{147}{13}$.
- Sostituendo a ω^2 l'espressione $K + 7$ nella parte reale e imponendo che anch'essa sia nulla, si trova $K = 112$. Di conseguenza altre due intersezioni con l'asse immaginario sono $s = \pm j\sqrt{119}$ per $K = 112$.

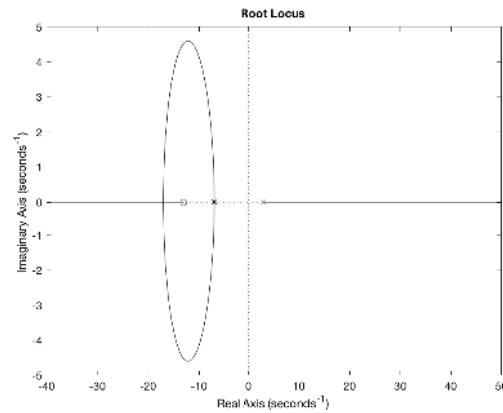
Mettendo assieme le informazioni finora trovate e applicando la regola per determinare quali punti dell'asse reale appartengano ai due luoghi, si trova che nel luogo positivo, 2 rami si muovono sull'asse reale uno verso l'altro (provenendo dai poli $s = -7, +3$), e quello che proviene dal polo $s = +3$ attraversa l'asse immaginario in $s = 0$ per $K = \frac{147}{13}$, poi prosegue incontrando l'altro ramo nel punto doppio $s = -1$ per $K = 12$, dopodichè i due rami escono nel piano complesso, attraversano nuovamente l'asse immaginario per $K = 112$, e quindi proseguono verso l'asintoto verticale in $s = +1$. Il terzo ramo si muove sull'asse reale dal polo doppio in $s = -7$ verso lo zero in $s = -13$.



Per $0 < K < \frac{147}{13}$ si hanno 1 polo positivo e 2 negativi, per $K = \frac{147}{13}$ un polo in $s = 0$ e 2 negativi, che dai conti risultano essere $s = -\frac{143 \pm 3\sqrt{897}}{26}$, mentre per $\frac{147}{13} < K < 12$ si ha BIBO stabilità con 3 poli reali negativi, per $K = 12$ sempre BIBO stabilità con un polo doppio in $s = -1$ ed il terzo polo che, dai conti, risulta essere $s = -9$, ed infine per $12 < K < 112$ sempre BIBO stabilità con 2 poli complessi coniugati a parte reale negativa ed 1 polo negativo. Per $K = 112$ abbiamo due poli immaginari puri $s = \pm j\sqrt{119}$, oltre ad

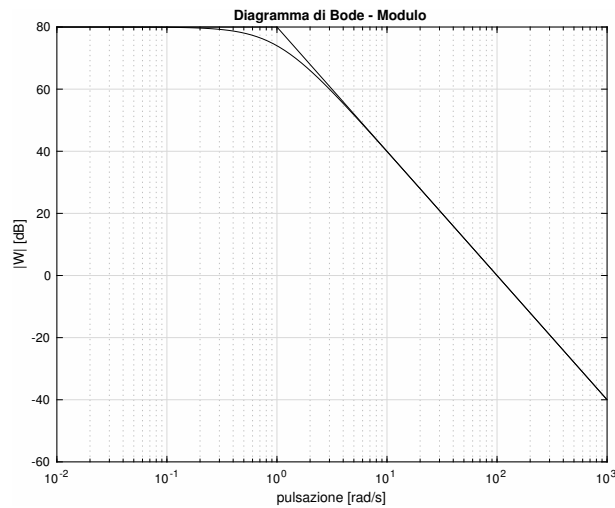
1 polo negativo che, dai conti, risulta essere $s = -11$, mentre per $K > 112$ si hanno 2 poli complessi coniugati a parte reale positiva ed 1 polo negativo. In conclusione, per $K > 0$, si ha BIBO stabilità se e solo se $\frac{147}{13} < K < 112$.

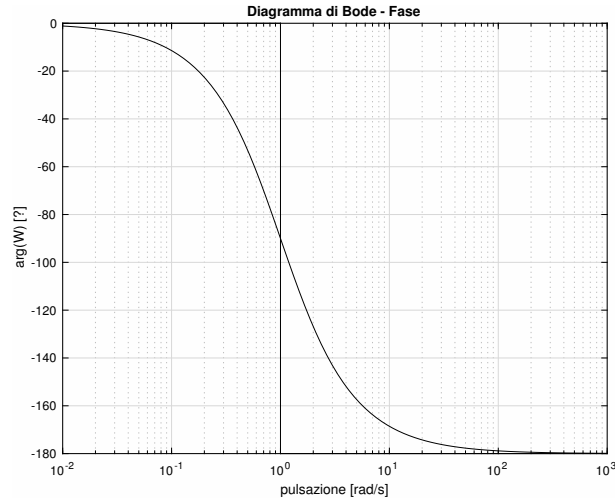
Nel luogo negativo, 1 ramo si muove semplicemente sull'asse reale dal polo $s = +3$ verso $+\infty$, mentre gli altri 2 rami escono sul piano complesso partendo dal polo doppio in $s = -7$, e si reincontrano nel punto doppio $s = -17$ per $K = -500$, per poi proseguire sull'asse reale, 1 verso lo zero in $s = -13$, l'altro verso $-\infty$. In questo tragitto non si ha mai attraversamento dell'asse immaginario (non sono state trovate intersezioni con tale asse nel luogo negativo), quindi per $K < 0$ si hanno sempre 1 polo positivo e 2 a parte reale negativa (prima complessi poi reali).



Quindi per $K < 0$ non c'è mai BIBO stabilità. In conclusione, si ha BIBO stabilità se e solo se $\frac{147}{13} < K < 112$.

Esercizio 3. i) Per soddisfare le specifiche su tipo ed errore a regime è sufficiente scegliere $C'_1(s) = 10^3$. Se ora tracciamo il diagramma di Bode di $C'_1(s)G(s)$:

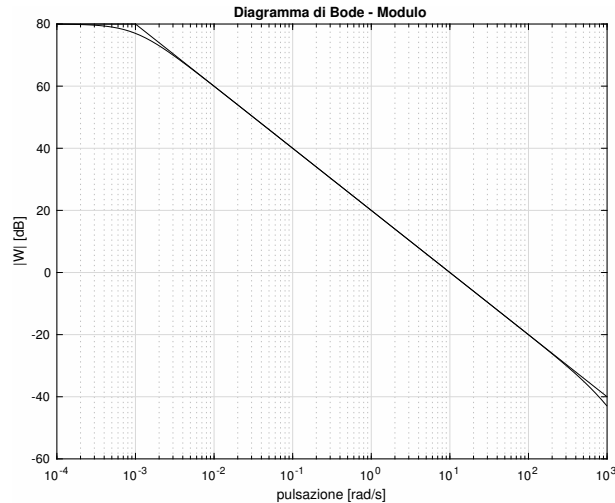


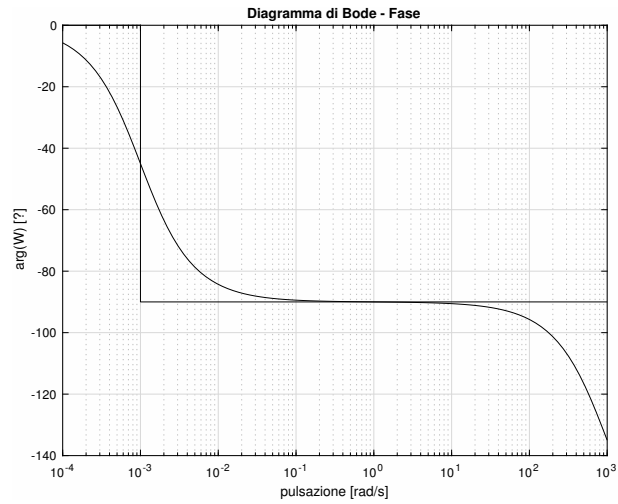


osserviamo che $\omega_A = 100$ rad/s e quindi la pulsazione di attraversamento ω_A è maggiore di quella desiderata. Infatti per $\omega = \omega_A^*$ il modulo vale 40 dB. D'altra parte per $\omega = \omega_A^*$ la fase vale circa -180° e quindi tale fase va aumentata di circa 90° . Una rete a sella che per $\omega = \omega_A^*$ abbassi il modulo di 40dB ed alzi la fase (e quindi $m_\psi(\omega_A^*)$) di circa 90° è sufficiente. Possiamo ad esempio scendere di 60dB con la prima coppia polo-zero (rete attenuatrice), per poi risalire di 20dB (con la rete anticipatrice). Un modo per riuscirci (che semplifica i calcoli in quanto introduce una doppia cancellazione zero-polo ammissibile) è piazzare il polo 4 decadi prima di $\omega_A^* = 10$ rad/s, i due zeri 1 decade prima, e l'ultimo polo in alta frequenza (rispetto ad ω_A , ad esempio 2 decadi dopo), al solo scopo di rendere proprio il compensatore. Il compensatore

$$C_1(s) = 10^3 \frac{(1+s)^2}{(1+10^3s)(1+\frac{s}{10^3})}$$

permette il soddisfacimento di tutti i requisiti (compresa la stabilità BIBO del sistema retroazionato, grazie al Criterio di Bode applicato a $C_1(s)G(s)$), ed è uno degli infiniti $C_1(s)$ che vanno bene.

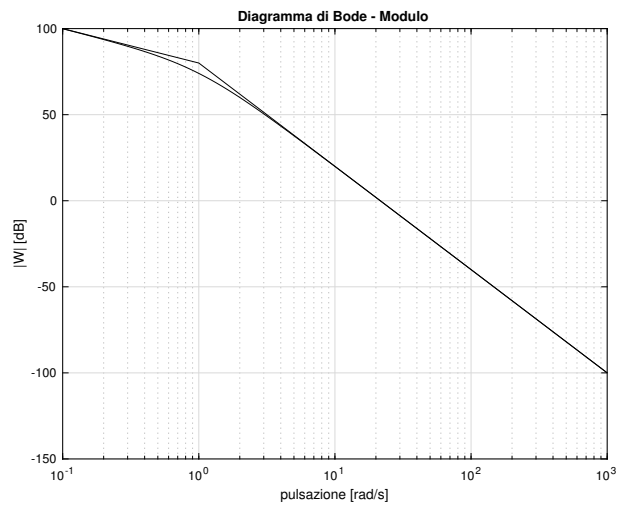


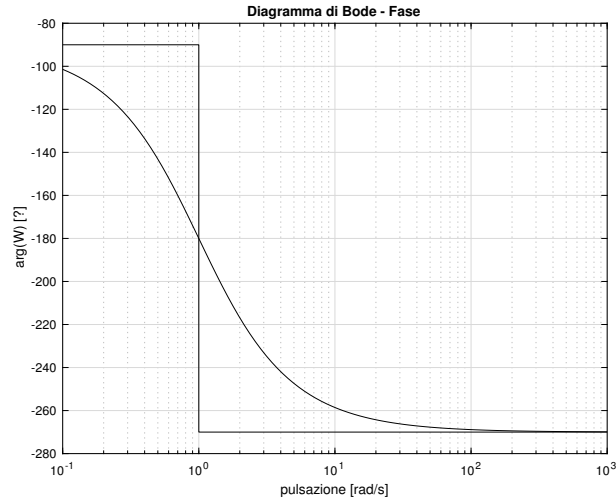


ii) Nel secondo caso, per sistemare la specifica sul tipo è necessario introdurre un integratore e modificare il guadagno di Bode in catena aperta. Precisamente è necessario il ricorso al pre-compensatore

$$C'_2(s) = \frac{10^3}{s} \Rightarrow C'_2(s)G(s) = \frac{10^4}{s(s+1)^2}.$$

Ciò significa che dovremo ricorrere o a un controllore PI oppure ad un PID. Ora tracciamo il diagramma di Bode di $C'_2(s)G(s)$:

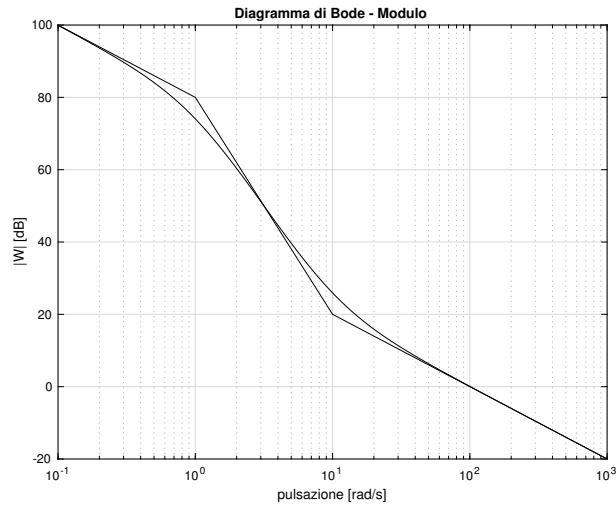


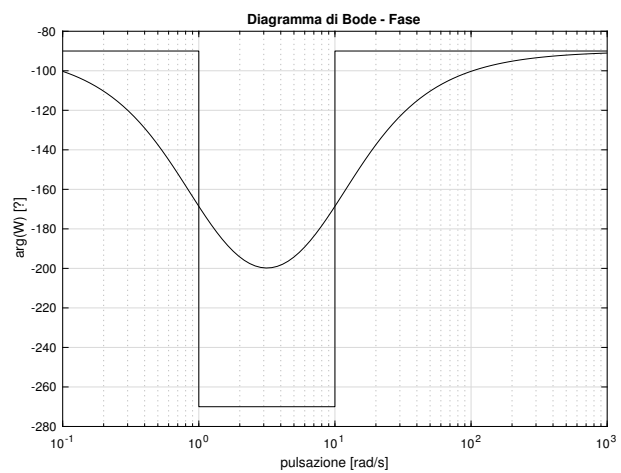


In questo caso è evidente che $\omega_A < \omega_A^*$ e che per $\omega = \omega_A^*$ si ha margine di fase negativo (circa -90 gradi). Pertanto sono necessari 2 zeri stabili in modo da alzare la fase di 180° e il modulo di 40 dB in $\omega_A^* = 100$. Ponendo ad esempio due zeri in -10 , si ottiene il risultato desiderato. Pertanto

$$C_2(s) = \frac{10^3(1 + 0.1s)^2}{s} = 200 + \frac{10^3}{s} + 10s$$

è uno degli infiniti PID che vanno bene (soddisfacendo sia le specifiche che il Criterio di Bode per $C_2(s)G(s)$).





Teoria. Si veda il Capitolo 4 del Libro di testo.